

(株) 日本水道コンサルタント 正○ 豊田泰之  
岩手大学 正 大沼正郎  
同上 正 大村達郎

## 1. まえがき

散水床法に代表される固定生物膜反応器の浄化機構、特に有機物除去に関する動力学式と生物膜反応のモデル化を通して検討した。そして誘導した動力学式を用いて水量負荷変動による有機物除去への影響を検討した。

## 2. 実験装置と実験条件

実験装置を図-1に示した。汚床は長さ150cmで3段から成り、各段汚床には、生物膜厚を制御するために六角網目ガセット(厚さ0.8mm)をA汚床に1枚、B汚床に3枚(厚さ2.4mm)張った。1日1回、基質交換時にアスチャツ板で切削して膜厚制御を行った。膜厚制御によって汚床面上に一様な生物膜が成長させた後に次の条件で実験を行った。

1週間を1期間として流入基質濃度を5期間に渡って変動させた。基質は、グルコースを唯一の炭素源として、栄養塩類は制限とならないように十分加えた。基質のCNP比は、一定とした(100:25:10)。通常、流量は、25ml/分とし、各期間の終わりの2日間に流量変動による実験を行った。流量を変動する場合は、2時間ごとに、25→10→50→75→100ml/分と変化させて各流量に対して測定を行った。

## 3. 実験結果と考察

全実験期間における流量25ml/分に対する各段流出のグルコース基質の残存率の経日変化をA汚床について、図-2に示した。各期間の平均値を実線で示した。基質濃度変動への生物膜反応の対応は早く、各期間で比較的均一化した結果が得られた。この結果を次のようにして解析した。

先ず、HougenとAndersonの理論に基づいて、主に仮定を次のようにして固定生物膜反応モデル式を導いた。  
① 液相からの基質除去は、生物膜内への基質の分子拡散と微生物の代謝作用による基質消費が、平衡に達した状態で起こる。この基質消費は、近似的に生物膜表面近くの活性部、すなわち有効膜厚内で拘束的に起こる。  
② 液相の基質濃度Sは、流量等の操作条件下、一定であれば、基質除去を律速する。  
③ 生物膜内の単位微生物による基質消費速度は、Michaelis-Menten型の飽和関数として表わせる。  
①～③より、物質収支を取ると生物膜単位表面積当たりの基質除去速度( $J/A$ )は、

$$(J/A) = (J/A)_{max} \cdot S / (K_s + S) \quad \dots \dots \dots (1)$$

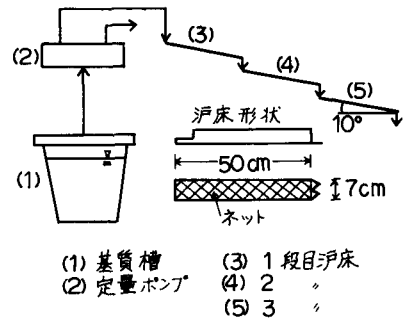
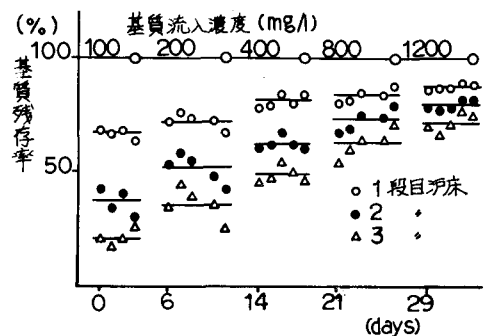


図-1 実験装置



基質残存率の経日変化

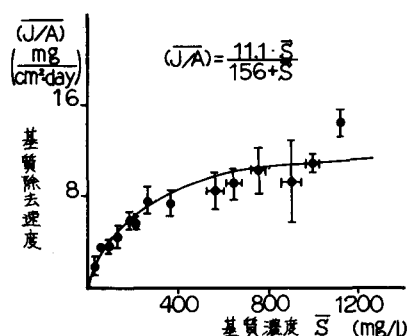


図-3 基質除去速度の変動

と表わせる。ここで、 $(J/A)_{max} = L_e \cdot X_{f_0} \cdot J_{max}$  で単位表面積当たりの基質除去速度の最大値を示す。又、 $L_e$ ；有効膜厚 [ $L$ ] ,  $X_f$ ；生物濃度 [ $M$   $\text{L}^{-1}$ ] ,  $J_{max}$ ；最大比基質消費速度

図-2に示した実験結果より、各段沪床の平均基質除去速度( $J/A$ )を平均基質濃度に対してプロットしたのが、図-4である。各段の沪床の平均値に対して(1)式が逆比例は成り立つとすると

$$(J/A)^{-1} = (K_s / (J/A)_{max}) \cdot S^{-1} + (J/A)_{max}^{-1} \quad \dots \dots \dots (2)$$

となる。これより  $S^{-1}$  に対して  $(J/A)^{-1}$  をプロットすると図-4となり、明らかに線型関係がある。得られた直線の傾きと切片から  $(J/A)_{max}$  と  $K_s$  値を求め、(1)式を使って図-3に曲線を示した。膜厚の違うB沪床についても同様の傾向を示し、上記の固定生物膜反応モードによる動力学式が、生物膜反応をとらえる上で有効であることがわかった。この動力学式を使って流量変動による  $(J/A)_{max}$  と  $K_s$  の変動を調べた。図-5に流量変動を行って得られた結果を図-3と同じくプロットした。上記と同様な解析を行って、 $(J/A)_{max}$  と  $K_s$  の値を求める。図-6, 7に浸透長散水負荷に対するプロットした。図-6において  $(J/A)_{max}$  は、A, B沪床とも負荷の増加と共に増加、 $10 \text{ mg/cm}^2 \text{ day}$  以上では、ほぼ一定になった。これは流量が少しあり場合、液膜の流動特性によって基質除去速度が、変動し、流量の増加と共にその影響を受けはると言えらる。これより、可能な基質除去速度の最大値は、A沪床で  $11.83 \text{ mg/cm}^2 \text{ day}$  , B沪床で  $12.65 \text{ mg/cm}^2 \text{ day}$  と求められた。切削生物膜によつて行った回分実験から  $J_{max} = 8.4 \text{ day}^{-1}$  , 生物濃度測定により、 $X_{f_0} = 12.65$ ,  $X_{f_0} = 13.15 \text{ mg/cm}^3$  である。これより、有効膜厚を求めると A沪床  $0.51 \text{ mm}$ , B沪床  $0.52 \text{ mm}$  と算定できた。よつて、A, B沪床の膜厚の差(比=3)が、あるにもかかわらず、有効膜厚はあまり変わらない(比=1.02)。従つて基質除去に有効に働く生物膜は、比較的生物膜表面近くに存在し、その厚さは、今回の実験から、 $0.5 \text{ mm}$  程度であることがわかつた。又図-7において、 $K_s$  値は負荷の増加と共に減少する。図の横線は、回分実験で得られた俈和定数の値を示したものであるが、 $K_s$  値は、これを横線で減らしている。従つて、(1)式中の  $K_s$  値は、生物膜独自の定数ではなく、流量の影響を大きく受け、負荷の増加と共に減少する。

#### 4. おわりに

以上の結果をまとめると、[1] 固定生物膜反応における有機物除去に関する動力学式は、Michaelis-Menten 型の飽和関数として表わせることができた。[2] 基質除去に有効に働く生物膜は、表面近くの  $0.5 \text{ mm}$  程度であり、可能な基質除去速度の最大値は、 $12 \text{ mg/cm}^2 \text{ day}$  程度である。[3].  $K_s$  値は、流量の影響を大きく受け、負荷の増加と共に減少する。

(1) Hornung, B.H. and Andrews, J.F. "Application of the Continuous Culture Theory to Trickling filter Process," Proc. 24th Ind. Wastes Conf., 1969  
(2) Hornung, B.H. and Andrews, J.F. "Kinetics of Fixed Film Biological Reactor," Proc. 22nd. Ind. Wastes Conf., 1967

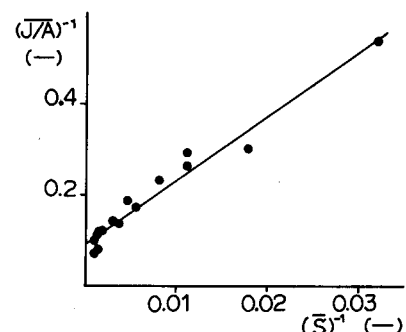


図-4  $(J/A)^{-1}$  vs.  $(S)^{-1}$

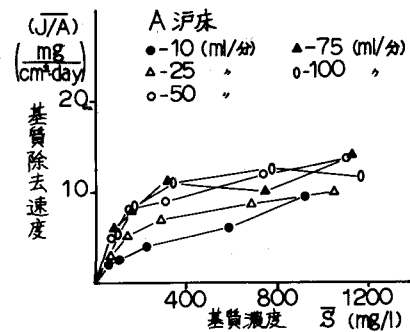


図-5 水量負荷による基質除去速度の変動

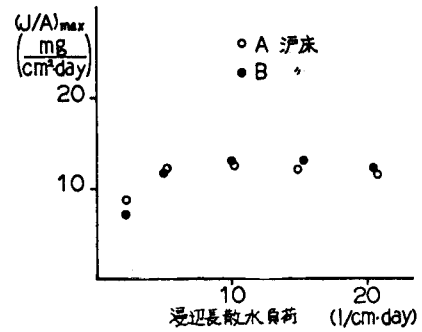


図-6  $(J/A)_{max}$  の流量負荷に対する変動

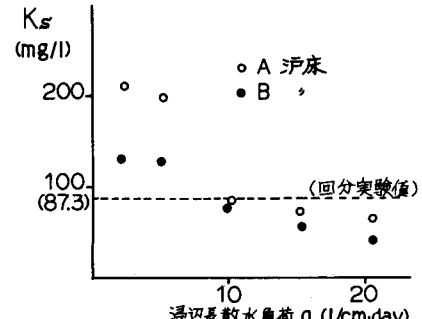


図-7  $K_s$  値の流量負荷に対する変動